

О ВЛИЯНИИ КОРНЕВОЙ СИНГУЛЯРНОСТИ ВАН ХОВА НА КРИТИЧЕСКУЮ ТЕМПЕРАТУРУ ВЫСОКОТЕМПЕРАТУРНЫХ СВЕРХПРОВОДНИКОВ

Э.А.Пашицкий, В.И.Пентегов, Е.Абрахам¹⁾

Институт физики НАН Украины
252650 Киев, Украина

** Department of Physics, Heriot-Watt University
Edinburgh, EH14 4AS, UK*

Поступила в редакцию 6 февраля 1998 г.

Показано, что корневая сингулярность Ван Хова в плотности состояний $\nu(E_F) \sim \sim (E_F - E_0)^{-1/2}$, связанная с протяженными седловыми особенностями в электронном спектре высокотемпературных сверхпроводников на основе купратных металлооксидных соединений дырочного типа, приводит к немонотонной зависимости критической температуры T_c от положения уровня Ферми E_F относительно дна седловин E_0 . При этом, в результате сокращения расходности $\nu(E_F)$ в перенормированной за счет эффектов сильной связи константе электрон-электронного взаимодействия, T_c стремится к нулю в пределе $E_F \rightarrow E_0$, в отличие от приближения слабой связи, в рамках которого T_c стремится к конечному (близкому к максимальному) значению при $E_F \rightarrow E_0$. Зависимость T_c от концентрации дипированных дырок, полученная в приближении сильной связи, качественно согласуется с экспериментальными данными для передопированных купратных металлооксидов.

PACS: 74.20.-z

1. Эксперименты [1–5] по фотоэлектронной спектроскопии с высокой разрешающей способностью по углу и энергии показывают, что в электронных спектрах слоистых кристаллов купратных металлооксидных соединений (МОС) с дырочным типом проводимости ($\text{YBa}_2\text{Cu}_3\text{O}_7$, $\text{BiSrCa}_2\text{Cu}_3\text{O}_7$, $\text{TlBa}_2\text{Ca}_3\text{Cu}_3\text{O}_{10}$) вблизи уровня Ферми существуют "плоские" участки зон, которые представляют собой протяженные седловые особенности (СО) с корневой сингулярностью Ван Хова (СВХ) в электронной плотности состояний $\nu(E_F) \sim (E_F - E_0)^{-1/2}$. Энергия Ферми $\mu_1 \equiv (E_F - E_0)$ и ферми-импульс $k_{F1} \approx \sqrt{2m_1^*}\mu_1$ на таких квазиодномерных участках спектра с эффективной массой $m_1^* \gg m_0$ (где m_0 – масса свободного электрона) аномально малы и для оптимально дипированных кристаллов составляют соответственно $\mu_1 \cong (20 \div 30)$ мэВ и $k_{F1} \cong (0.15 \div 0.17)$ Å⁻¹, а протяженность седловин равна $P_1 \cong 0.5$ Å⁻¹ [4, 5].

Как было показано в [2, 6] в рамках приближения слабой связи (модель БКШ [7]), протяженные СО с корневыми СВХ приводят для $\mu_1 \leq T_c$ с неэкспоненциальной (степенной) зависимостью T_c от безразмерной константы λ эффективного межэлектронного притяжения: $T_c \approx \mu_1 \lambda^2$, где $\lambda \approx \lambda_1 \sqrt{E_1/\mu_1}$, то есть критическая температура стремится к постоянному пределу $T_c \approx E_1 \lambda_1^2$ при $\mu_1 \rightarrow 0$. Таким образом, согласно [2], при энергии E_1 порядка ширины зоны ($E_1 > 1$ эВ) могут быть достигнуты достаточно высокие значения $T_c \geq 100$ К при весьма малых значениях $\lambda_1 \sim 0.1$, независимо от механизма куплеровского спаривания носителей тока.

Однако при больших значениях λ необходимо использовать приближение сильной связи [8], в рамках которого перенормировка константы взаимодействия $\tilde{\lambda} =$

¹⁾ E.Abraham.

$= \lambda/(1 + \lambda)$ приводит к сокращению расходимости $\lambda \sim \nu(\mu_1) \sim \mu_1^{-1/2}$ в точке $\mu_1 = 0$. Благодаря этому, как показано в настоящей работе, $T_c \sim \mu_1$ при $\mu_1 \rightarrow 0$, то есть T_c обращается в нуль, когда уровень Ферми касается дна протяженных CO, в отличие от приближения слабой связи [2, 6], когда T_c стремится к конечному (близкому к максимальному) значению при $\mu_1 \rightarrow 0$. Полученная с учетом эффектов сильной связи немонотонная зависимость T_c от концентрации дырок n_p качественно согласуется с экспериментальными данными для передопированных купратных МОС [9, 10].

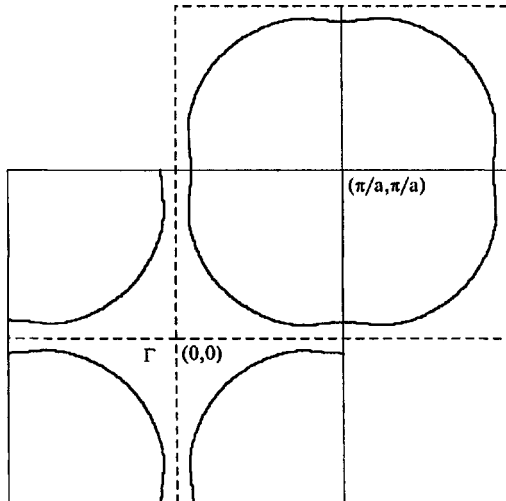


Рис.1. Сечение поверхности Ферми купратных слоистых металлооксидов типа BSCCO. Замкнутая цилиндрическая поверхность Ферми дырочного типа центрирована в углу зоны Бриллюэна $(\pi/a, \pi/a)$

2. Будем исходить из предположения о том, что механизм высокотемпературной сверхпроводимости (ВТСП) в слоистых купратных МОС обусловлен куперовским спариванием фермионов (электронов, дырок) за счет обмена виртуальными бозонами (фононами, магнонами, плазмонами, экситонами). Как известно [7, 8], в приближении сильной связи сверхпроводящее состояние описывается системой уравнений для нормальной, Σ_1 и аномальной, Σ_2 , собственно-энергетических частей. При условии, что характерная энергия $\tilde{\Omega}$ бозонов, переносящих взаимодействие, значительно больше T_c , линеаризованное уравнение для щели $\Delta(\mathbf{k}, \omega)$ на поверхности Ферми при $T \rightarrow T_c$ с учетом квазидвумерности электронного спектра в слоистых кристаллах МОС и анизотропной структуры межэлектронного взаимодействия может быть представлено в виде

$$(1 + \lambda(\theta))\Delta(\theta, 0) = \frac{1}{2} \int_0^{2\pi} \frac{d\theta}{2\pi} \int_{-\tilde{\Omega}}^{\tilde{\Omega}} \frac{d\omega}{\omega} \Delta(\theta', \omega) \nu(\theta', \omega) W(\theta, \theta', \omega) \operatorname{th} \frac{\omega}{2T_c}, \quad (1)$$

где $\lambda(\theta) = -\partial\Sigma_1(\theta, \omega)/\partial\omega|_{\omega=0}$ – безразмерная константа запаздывающего взаимодействия, $\Delta(\theta, \omega) = \Sigma_2(\theta, \omega)/(1 + \lambda(\theta))$ – анизотропная щель в спектре квазичастиц, θ и θ' – углы между лежащими на поверхности Ферми импульсами электрона \mathbf{k} и \mathbf{k}' и направлением одной из главных кристаллографических осей (\mathbf{a} или \mathbf{b}) в плоскости слоев, а $W(\theta, \theta', \omega)$ и $\nu(\theta, \omega)$ – матричный элемент межэлектронного взаимодействия

и электронная плотность состояний, соответственно, которые можно представить в виде разложения в ряды Фурье по углам θ и θ' . В дальнейшем ограничимся для простоты первыми членами в разложении $W(\theta, \theta', \omega)$, которые соответствуют представлениям A_1 и B_1 группы симметрии C_{4v} купратной плоскости CuO_2 :

$$W(\theta, \theta', \omega) = W_0(\omega) + W_2(\omega) \cos 2\theta \cos 2\theta' + W_4(\omega) \cos 4\theta \cos 4\theta', \quad (2)$$

а анизотропную плотность состояний в окрестности замкнутой цилиндрической поверхности Ферми дырочного типа (рис.1) представим в виде

$$\nu(\theta', \omega) = \nu_+(\omega) + \nu_-(\omega) \cos 4\theta'; \quad \nu_{\pm}(\omega) = \frac{1}{2} \left[\nu_1 \operatorname{Re} \sqrt{\frac{\mu_1}{\mu_1 + \omega}} \pm \nu_2 \right]. \quad (3)$$

Здесь $\nu_1(\mu_1) \sim \mu_1^{-1/2}$ – плотность состояний на квазидномерных участках поверхности Ферми в области протяженных СО с корневой СВХ, а ν_2 – постоянная плотность состояний на квазидвумерных участках поверхности Ферми в направлении диагоналей зоны Бриллюэна. В этом случае анизотропная константа связи $\lambda(\theta)$ имеет вид

$$\lambda(\theta) = \lambda_0 + \lambda_4 \cos 4\theta; \quad \lambda_0 = \nu_+(0)W_0(0); \quad \lambda_4 = \frac{1}{2}\nu_-(0)W_4(0). \quad (4)$$

При достаточно больших положительных значениях $W_0(0)$ и $W_4(0)$ преобладающей может быть s -волновая симметрия куперовского спаривания с анизотропным параметром щели

$$\Delta_s(\theta, \omega) = \Delta_0(\omega) + \Delta_4(\omega) \cos 4\theta. \quad (5)$$

При этом критическая температура T_c^s определяется из решения следующей системы связанных интегральных уравнений (для простоты пренебрегаем зависимостью Δ и W от ω в области $|\omega| < \tilde{\Omega}$):

$$(1 + \lambda_0)\Delta_0 + \frac{1}{2}\lambda_4\Delta_4 = \frac{1}{2}W_0(0) \int_{-\tilde{\Omega}}^{\tilde{\Omega}} \frac{d\omega}{\omega} \left[\nu_+(\omega)\Delta_0 + \frac{1}{2}\nu_-(\omega)\Delta_4 \right] \operatorname{th} \frac{\omega}{2T_c^s}, \quad (6)$$

$$(1 + \lambda_0)\Delta_4 + \lambda_4\Delta_0 = \frac{1}{4}W_4(0) \int_{-\tilde{\Omega}}^{\tilde{\Omega}} \frac{d\omega}{\omega} [\nu_+(\omega)\Delta_4 + \nu_-(\omega)\Delta_0] \operatorname{th} \frac{\omega}{2T_c^s}. \quad (7)$$

В то же время, при достаточно большом положительном значении W_2 может преобладать $d_{x^2-y^2}$ -волновая симметрия куперовского спаривания с анизотропной щелью $\Delta_d(\theta) \sim \cos 2\theta$ и с критической температурой T_c^d , определяющейся уравнением

$$(1 + \lambda_0) = \frac{1}{4}W_2(0) \int_{-\tilde{\Omega}}^{\tilde{\Omega}} \frac{d\omega}{\omega} \left[\nu_+(\omega) + \frac{1}{2}\nu_-(\omega) \right] \operatorname{th} \frac{\omega}{2T_c^d}. \quad (8)$$

3. Поскольку большинство экспериментов (см., например, [11–14]) свидетельствуют в пользу $d_{x^2-y^2}$ -волновой симметрии щели в высокотемпературных сверхпроводниках, рассмотрим именно этот случай, соответствующий в нашей модели

большой положительной величине матричного элемента W_2 в (2). При этом уравнение (8) с учетом (3) для $\mu_1 < \tilde{\Omega}$ приводится к виду

$$1 = \frac{W_2}{4(1 + \lambda_0)} \left\{ \frac{3}{2} \nu_1(\mu) \int_{\mu_1}^{\tilde{\Omega}} \frac{d\omega}{\omega} \sqrt{\frac{\mu_1}{\mu_1 + \omega} \operatorname{th} \frac{\omega}{2T_c^d}} + \nu_2 \ln \left(\frac{\tilde{\Omega}}{T_c^d} \right) \right\}. \quad (9)$$

Первое слагаемое в фигурных скобках (9) описывает вклад квазиодномерных участков поверхности Ферми с корневой СВХ в плотность состояний, а второе – вклад квазидвумерных участков поверхности Ферми с постоянной плотностью состояний.

При условии $T_c^d \ll \mu_1$ в результате приближенного интегрирования по ω в (9) получаем:

$$(T_c^d)^{3\alpha_1 + \alpha_2} \approx (4\mu_1)^{3\alpha_1} \tilde{\Omega}^{\alpha_2} \exp \left\{ -\frac{1 + \lambda_0}{\lambda_2} \right\}, \quad (10)$$

где

$$\alpha_1(\mu_1) = \frac{\nu_1(\mu_1)}{\nu_1(\mu_1) + \nu_2}; \quad \alpha_2(\mu_1) = \frac{\nu_2}{\nu_1(\mu_1) + \nu_2}; \quad \lambda_2(\mu_1) = \frac{1}{2}(\nu_1(\mu_1) + \nu_2)W_2. \quad (11)$$

В противном случае, $T_c^d \gg \mu_1$, когда $\nu_1 \gg \nu_2$ и $\lambda_0 \approx \frac{1}{2}\nu_1 W_0 \gg 1$ при $\mu_1 \rightarrow 0$, из уравнения (9) в результате сокращения ν_1 в перенормированной константе связи следует:

$$T_c^d \approx 2\mu_1(3W_2/2W_0)^2, \quad (12)$$

так что $T_c^d \rightarrow 0$ при $\mu_1 \rightarrow 0$. Пользуясь уравнениями (6) и (7), можно показать, что в приближении сильной связи аналогичный результат ($T_c^s \sim \mu_1$ при $\mu_1 \rightarrow 0$) справедлив и в случае s -волновой симметрии щели, в отличие от результата [2, 6], полученного в приближении слабой связи, когда значение T_c конечно и близко к максимальному при $\mu_1 = 0$.

На рис.2 показаны зависимости T_c^d от μ_1 , полученные в результате численного решения уравнения (8) для разных значений параметров $\tilde{\Omega}$, $\lambda_1 = \nu_1^* W$, где $\nu_1^* \equiv \nu_1(\mu_1^*)$, а $\mu_1^* \approx (0.02 \div 0.03)$ эВ, что соответствует положению уровня Ферми в оптимально додированных кристаллах купратных МОС [3, 4]. Сплошные кривые 1 и 2 рассчитаны для значений $\tilde{\Omega} = 0.1$ эВ и $\tilde{\Omega} = 2$ эВ при фиксированном отношении $\nu_1^*/\nu_2 = 5$ и для таких величин констант λ_1 и λ_0 , которые обеспечивают положение максимума зависимости T_c^d от μ_1 в точке $\mu_1^* = 0.03$ эВ и экспериментально наблюдаемое для BSCCO максимальное значение $T_c \approx 110$ К. Заметим, что при фиксированном отношении констант λ_1 и λ_0 тождественно равное $\lambda_0(\mu^*)$ эти условия, налагаемые на положение и величину максимума T_c , приводят к степенной зависимости λ_1 от $\tilde{\Omega}$ с малым показателем $\beta \approx -0.06$, которая показана на врезке в двойном логарифмическом масштабе. Как видим, константа связи λ_1 , обеспечивающая достаточно высокие T_c , относительно невелика и слабо зависит от характерной энергии взаимодействия $\tilde{\Omega}$, которая определяется конкретным механизмом куперовского спаривания. Штриховыми кривыми на рис.2 показаны зависимости T_c^d , вычисленные при тех же значениях параметров, но без учета перенормировки константы взаимодействия на фактор $(1 + \lambda_0)$, что соответствует приближению слабой связи [2, 6].

На рис.3 изображены концентрационные зависимости T_c^d , соответствующие кривым 1 и 1' (рис.2) и полученные с учетом формулы (3) для плотности состояний. Для сравнения приведены экспериментальные значения критической температуры в зависимости от концентрации дырок n_p в расчете на один атом Си, взятые из [10]. Как

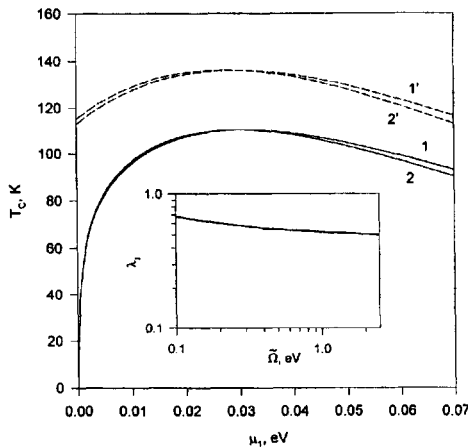


Рис.2. Зависимости T_c от энергии Ферми $\mu_1 = E_F - E_0$ не протяженных СО, вычисленные в приближении сильной (сплошные кривые) и слабой (штриховые кривые) связи. Кривые 1 и 1' соответствуют $\bar{\Omega} = 0.1$ эВ и $\lambda_1 = 0.68$, а кривые 2 и 2' – $\bar{\Omega} = 2$ эВ и $\lambda_1 = 0.5$

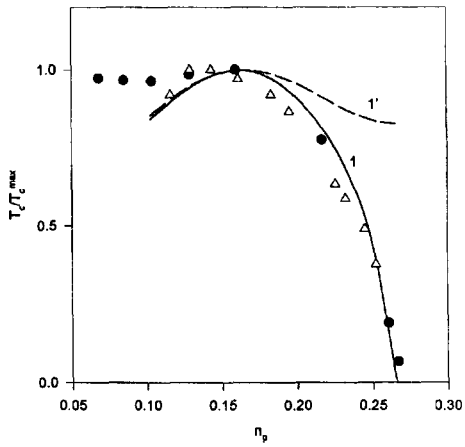


Рис.3. Зависимость T_c от концентрации дырок n_p в расчете на один атом Cu. Теоретические кривые соответствуют кривым 1 и 1' на рис.2. Экспериментальные данные взяты из [10]: • – TiPbCaYSrCuO (1212), Δ – BiPbSrLaCuO (2201)

видим, наблюдается хорошее согласие экспериментальных данных с теоретической зависимостью $T_c(n_p)$, полученной в приближении сильной связи.

Таким образом, в настоящей работе показано, что понижение критической температуры сверхпроводящего перехода в передопированных купратных МОС с ростом дырочной концентрации и обращения T_c в нуль при некотором значении n_p связаны с корневой СВХ в электронной плотности состояний на протяженных СО и не зависят от механизма куперовского спаривания носителей тока и симметрии щели.

Авторы выражают благодарность А.В.Гуревичу и А.В.Семенову за полезные дискуссии. Работа поддержана грантом 2.4/561 Государственного фонда фундаментальных исследований Украины и грантом GR/L25363 (Visiting Fellowship Research Grant, EPSRC, United Kingdom).

1. D.S.Dessau, Z.-X.Shen, D.M.King et al., Phys. Rev. Lett. **71**, 2781 (1993).
2. A.A.Abrikosov, J.C.Campuzano, and V.Gofron, Physica C **214**, 73 (1993).
3. D.M.King, Z.-X.Shen, and D.S.Dessau, Phys. Rev. Lett. **73**, 3298 (1994).
4. V.Gofron, J.C.Campuzano, A.A.Abrikosov et al., Phys. Rev. Lett. **73**, 3302 (1994).
5. H.Ding, J.C.Campuzano, A.F.Bellman et al., Phys. Rev. Lett. **74**, 2784 (1995); **75**, 1425 (1995).
6. A.A.Abrikosov, Physica C **214**, 107 (1993); **222**, 191 (1994); **244**, 243 (1995).
7. Дж.Шраффер, *Теория сверхпроводимости*, М.: Наука, 1970.
8. Г.М.Элиашберг, ЖЭТФ **38**, 966 (1960); **39**, 1437 (1960).
9. J.B.Torrance, A.Bezinge, A.I.Mazzal, and S.S.P.Parkin, Physica C **162-164**, 291 (1989).
10. J.L.Tallon, R.G.Buckley, E.M.Haines et al., Physica C **185-189**, 855 (1991).
11. D.A.Wollman, D.J.Van Harlingen, W.C.Lee et al., Phys. Rev. Lett. **71**, 2134 (1993); D.A.Wollman, D.J.Van Harlingen, J.Giapintzakis, and D.M.Ginsberg, Phys. Rev. Lett. **74**, 797 (1995).
12. S.S.Tsuei, J.R.Kirtley, C.C.Chi et al., Phys. Rev. Lett. **73**, 593 (1994).
13. J.R.Kirtley, S.S.Tsuei, M.Rupp et al., Phys. Rev. Lett. **76**, 1336 (1996).
14. M.R.Norman, M.Randeria, H.Ding et al., Phys. Rev. B **52**, 15107 (1995).